

Figure 21 – Résultats des propriétés ferro-magnétiques du sous-sol aux 3 profondeurs d’investigation sur le site 4.

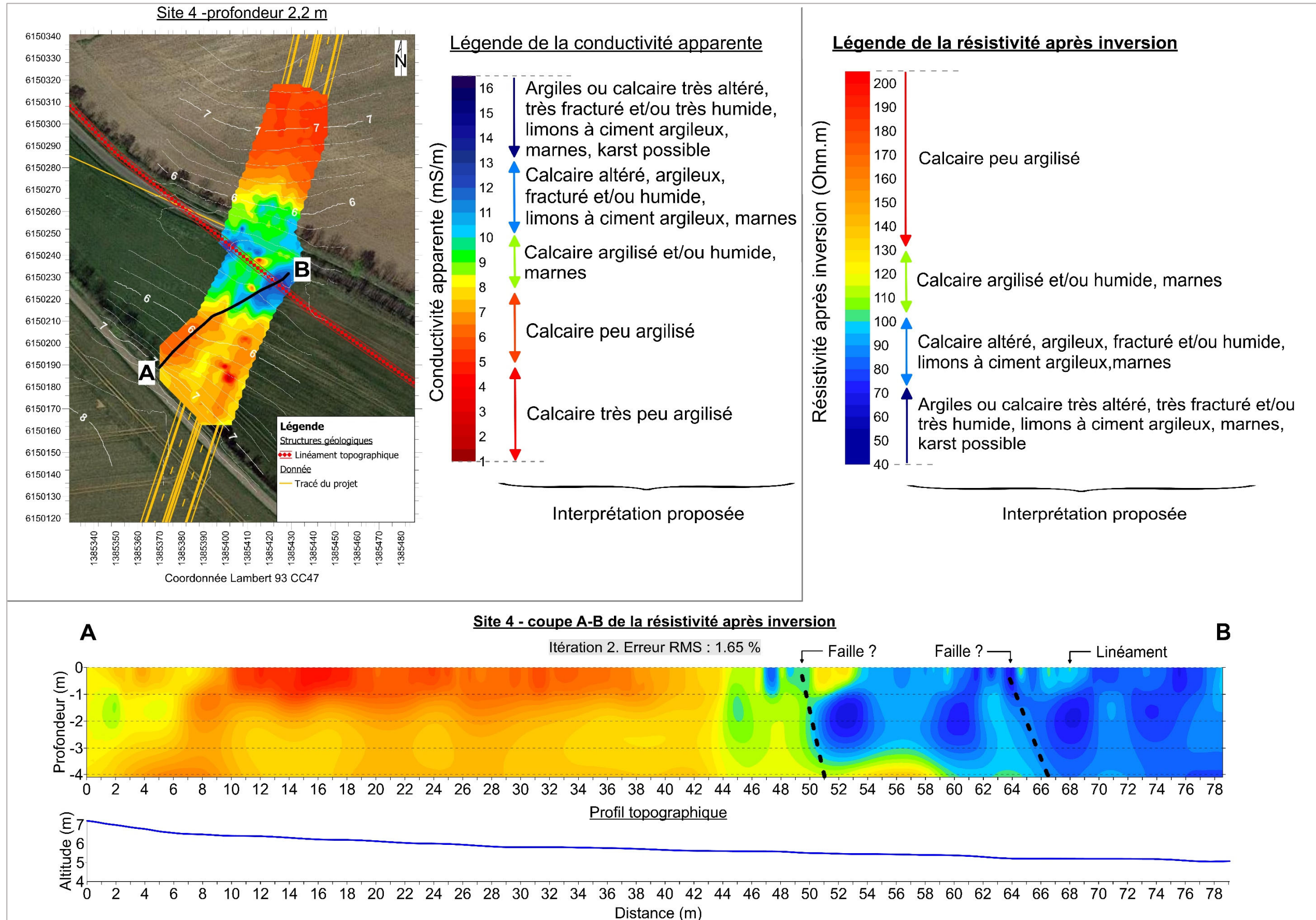


Figure 22 – Coupe de la résistivité après inversion sur le site 4.

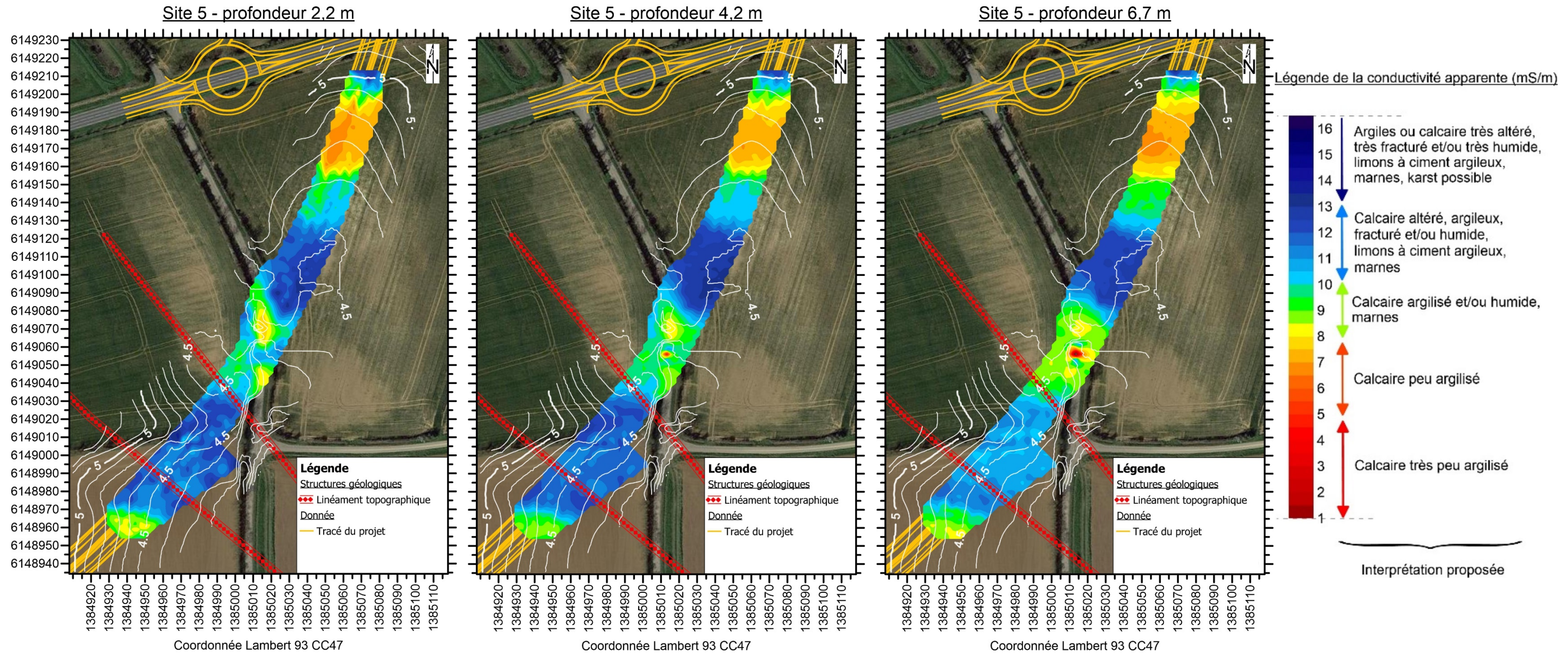


Figure 23 – Résultats de la conductivité apparente aux 3 profondeurs d’investigation sur le site 5.

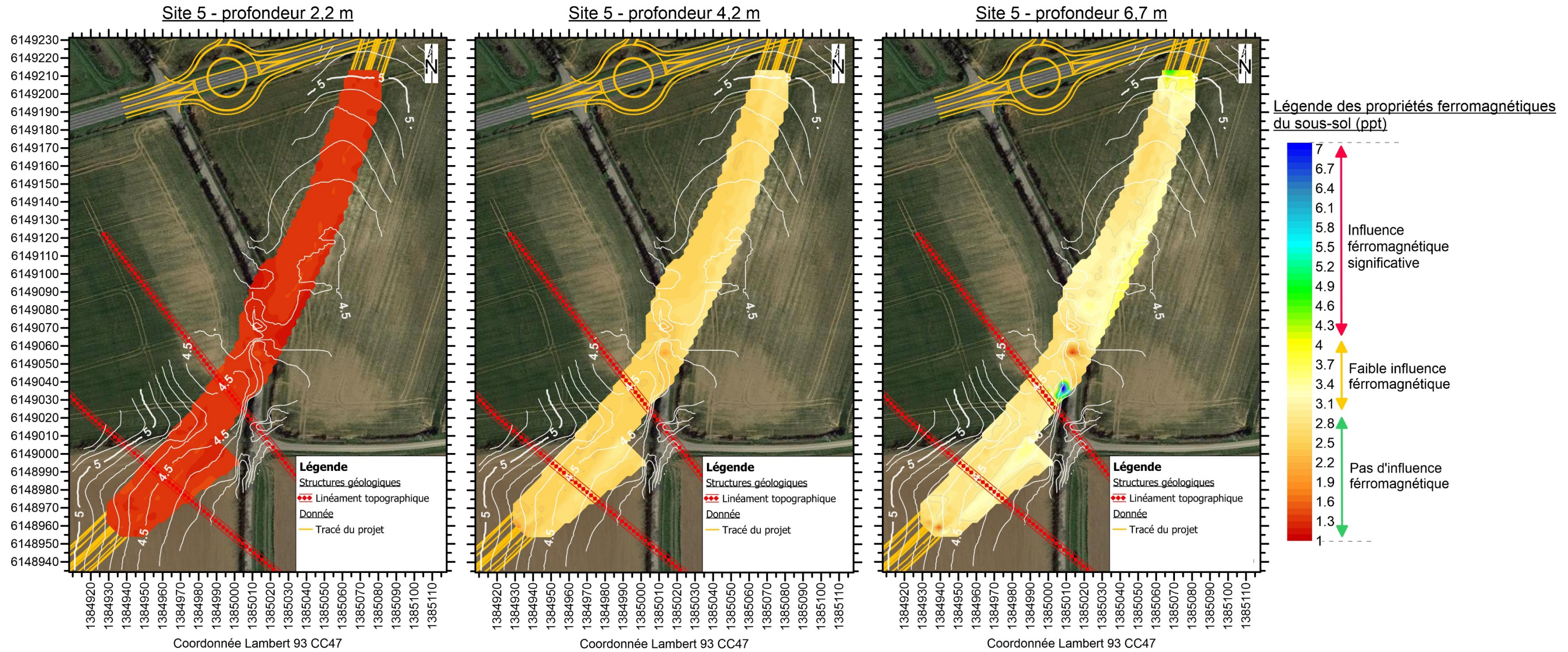


Figure 24 – Résultats des propriétés ferro-magnétiques du sous-sol aux 3 profondeurs d’investigation sur le site 5.

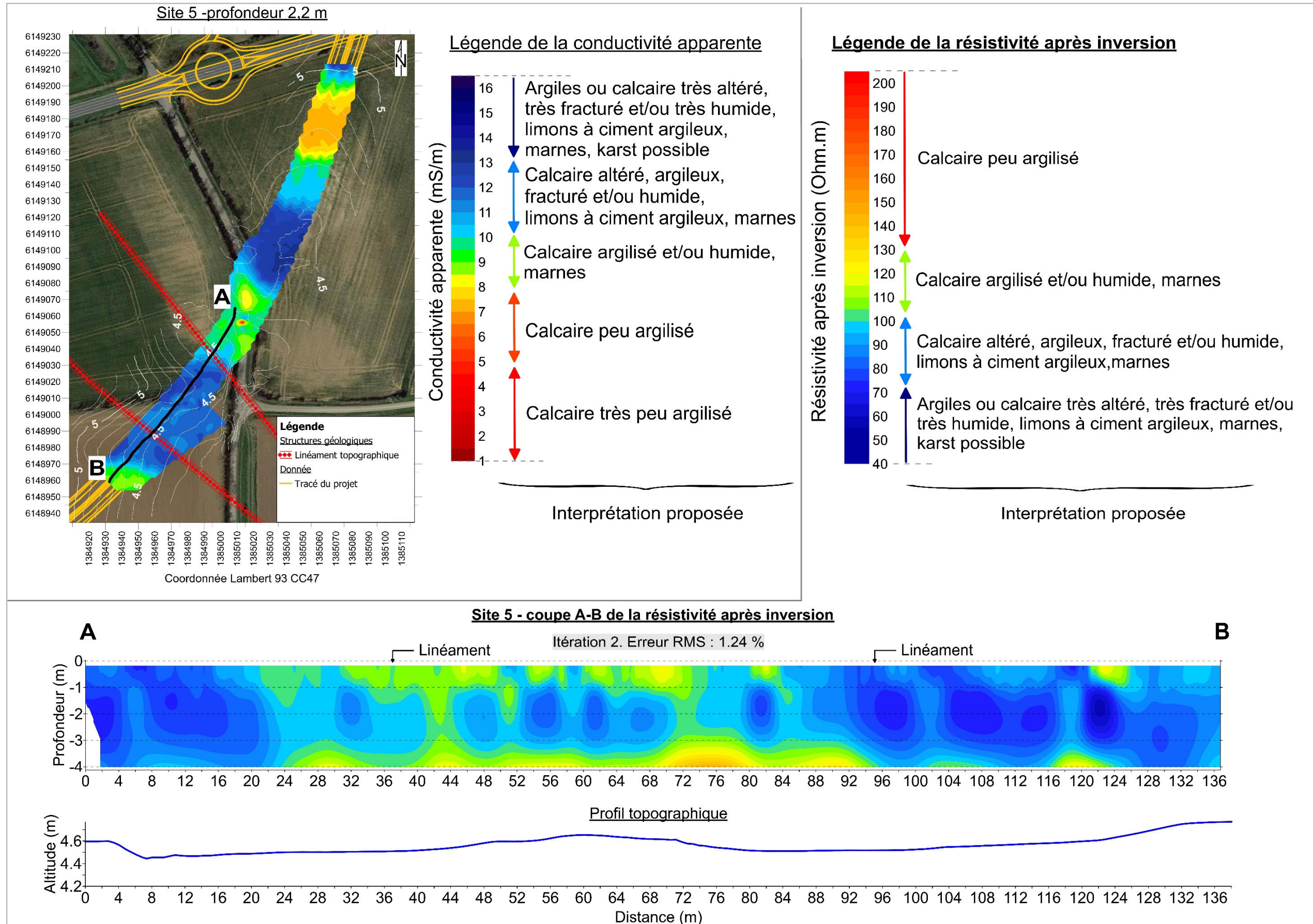


Figure 25 – Coupe de la résistivité après inversion sur le site 5.



sce

Aménagement
& environnement

www.sce.fr

GROUPE KERAN